

正常 B6 マウスへの MWCNT 腹腔内投与では投与後 6 ヶ月前後での末梢血の T 細胞分化やサイトカイン分泌に影響があることを、平成 24 年度の研究で見出していたが、投与後 18 ヶ月では T 細胞分化に大きな影響は見られなかった。18 ヶ月後の変化として、MWCNT 投与による腹膜の肥厚、乳糜腹水貯留、肝臓の分葉状変化などの肉眼変化が観察された。また、M1 マクロファージへの分化が促進していることも判明した。M1 マクロファージは炎症性サイトカインである TNF- $\alpha$ 、IFN- $\gamma$ などを産生することが知られており、炎症を促進するような役割を有していることが知られている。18 ヶ月における加齢的変化と MWCNT 投与がどのように関連しているかは不明であるが、MWCNT の長期暴露により、マクロファージを介したサイトカインシフトの可能性が考えられる。

自己免疫疾患モデルである MRL/lpr マウスは Fas 遺伝子の変異を有し、全身のリンパ節腫脹に加え、関節リウマチ、SLE、シェーグレン症候群の疾患モデルとして知られている。病態は末梢での T 細胞の Fas を介した維持機構に異常を来すことによって、自己反応性 T 細胞の増殖が促進されてしまうと考えられており、活性化した T 細胞中に自己反応性 T 細胞を含んでいる可能性が知られている。MRL/lpr マウスでの、すでに偏った免疫状態における MWCNT の暴露では、末梢の免疫システムへの影響は細胞分画の点では大きな影響は観察されなかったが、投与後、1、2 ヶ月の段階で自己抗体の一つであるリウマチ因子が MWCNT 投与によって低下することが判明した。自己抗体の産

生と炎症状態は相関していることが知られているが、投与後 1、2 ヶ月は 3、4 ヶ月齢に相当し、MRL/lpr マウスのリウマチ因子が上昇してくる時期である。MWCNT 投与直後の免疫システムへの影響、特に自己抗体産生機序への影響が考えられた。

今後、自己免疫疾患病変への MWCNT の長期暴露の影響を確認する必要があり、自己抗体への影響を含め、免疫システム全体への影響を評価する予定である。MRL/lpr マウスの 6 ヶ月齢を過ぎると死亡し始めることから、このモデルでの投与実験は投与後 6 ヶ月が限度であると考えられる。

来年度は自己免疫疾患病変への MWCNT 長期暴露の影響、吸引実験との比較などを通じてナノマテリアルの免疫システムへの影響を検討する予定である。

## E. 結論

3. 正常B6マウスへのMWCNT腹腔内投与による長期暴露によって、腹膜および腹腔臓器表層部に反応性の変化が観察された。
4. B6マウスへのMWCNT長期暴露によって腸間膜リンパ節の細胞数が減少していた。
5. B6マウスへのMWCNT長期暴露によってT細胞への影響は確認されなかった。
6. B6マウスへのMWCNT長期暴露によって末梢でのM1マクロファージへの分化が促進していることが判明した。
7. MRL/lprマウスへのMWCNT暴露によって免疫細胞の分画には大きな影響は観察されなかった。
8. MRL/lprマウスへのMWCNT暴露にお

いて、投与後1、2ヶ月で自己抗体の產生が低下していた。

#### F.健康危険情報

なし

#### G.研究発表

##### 1. 論文発表

1. Iizuka S, Ishimaru N, Kudo Y. Matrix metalloproteinases: the gene expression signatures of head and neck cancer progression. *Cancers.* 13:396-415, 2014
2. Yano K, Carter C, Yoshida N, Abe T, Yamada A, Nitta T, Ishimaru N, Takada K, Butcher GW, Takahama Y. Gimap3 and Gimap5 cooperate to maintain T-cell numbers in the mouse. *Eur J Immunol.* 44:561-572, 2014
3. Tsunematsu T, Takihara Y, Ishimaru N, Pagano M, Takata T, Kudo Y. Aurora-A controls pre-replicative complex assembly and DNA replication by stabilizing geminin in mitosis. *Nat Commun.* 4:1885, 2013
4. Kawakami E, Kawai N, Kinouchi N, Mori H, Ohsawa Y, Ishimaru N, Sunada Y, Noji S, Tanaka E. Local applications of myostatin-siRNA with atelocollagen increase skeletal muscle mass and recovery of muscle function. *PLoS One.* 8:e64719. 2013.
5. Shimizu N, Nakajima NI, Tsunematsu T, Ogawa I, Kawai H, Hirayama R, Fujimori A, Yamada A, Okayasu R, Ishimaru N, Takata T, Kudo Y. Selective enhancing effect of early mitotic inhibitor 1 depletion on the sensitivity of doxorubicin

or X-ray treatment in human cancer cells. *J Biol Chem.* 288:17238-17252, 2013

6. Yamada A, Arakaki R, Kudo Y, Ishimaru N. Targeting IL-1 in Sjögren's syndrome. *Expert Opin Ther Targets.* 17:393-401. 2013.
  7. Shikama Y, Ishimaru N, Kudo Y, Bando Y, Aki N, Hayashi Y, Funaki M. Effects of free Fatty acids on human salivary gland epithelial cells. *J Dent Res.* 92:540-546. 2013.
- ##### 2. 学会発表
- (1) 新垣理恵子、山田安希子、工藤保誠、江口洋、三田村佳典、林良夫、石丸直澄：シェーグレン症候群モデルを用いたレバミピド点眼薬によるドライアイの改善効果とその作用機序 第102回日本病理学会総会 102巻1号：306 2013.6 札幌
  - (2) 岩浅亮彦、近藤智之、黒澤実愛、新垣理恵子、山田安希子、田中栄二、工藤保誠、石丸直澄：アロマターゼ遺伝子欠損マウスにおける肥満とシェーグレン症候群様病変との関連 第102回日本病理学会総会 102巻1号：436 2013.6 札幌
  - (3) 近藤智之、工藤保誠、山田安希子、新垣理恵子、石丸直澄：自己免疫疾患モデルを用いた腫瘍免疫システムの解析 第102回日本病理学会総会 102巻1号：439 2013.6 札幌
  - (4) Yamada A, Arakaki R, Kurosawa M, Kondo T, Koichi Y, Hayashi Y, Ishimaru N: Difient differentiation of Treg cells in a murine model of Sjögren's syndrome. 15<sup>th</sup> International Congress of

Immunology 25<sup>th</sup> Aug. 2013 Milan

(5) 石丸直澄：シェーグレン症候群の病理診断の新機軸 第22回日本シェーグレン症候群学会学術集会 2013.9  
大阪

(6) Yamada K, Iwasa A, Kondo T,  
Kurosawa M, Arakaki R, Yamada A,  
Kudo Y, Taquahashi Y, Takagi A, Kanno  
J, Ishimaru N: Invivo effect of  
multi-wall carbon nanotubes on immune  
system. 6<sup>th</sup> International Symposium on  
Nanotechnology, Occupational and  
Environmental Health. Nov. 2013  
Nagoya

(7) Kurosawa M, Ishimaru N, Arakaki R,  
Yamada A, Kudo Y, Kondo T: A novel  
role of CXCR7 in controlling  
autoreactive T cells of a murine model  
for Sjögren's syndrome. 第42回日本免  
疫学会総会 42巻 : 110 2013.12  
千葉

(8) Iwasa A, Kurosawa M, Arakaki R,  
Yamada A, Tanaka E, Kudo Y, Ishimaru  
N: Relationship between  
aromatase-related obesity and  
autoimmunity in Sjögren's syndrome.  
第42回日本免疫学会総会 42巻:146  
2013.12 千葉

(9) Arakaki R, Eguchi H, Yamada A, Kudo  
Y, Mitamura Y, Hayashi Y, Ishimaru N:  
Eye drop administration of rebamipide is  
effective to a dry eye symptom in a  
model mice of Sjögren's syndrome. 第  
42回日本免疫学会総会 42巻 : 148  
2013.12 千葉

**H. 知的財産所有権の出願・登録状況(予定も含む)**

1. 特許取得  
なし
2. 実用新案登録  
なし
3. その他  
なし

図1

## Experiment 1

Mice : ♀C57BL/6 (8 weeks of age)

Group (n=5): 0 µg/mouse, 1 µg/mouse, 10 µg/mouse

MWCNT: Taquann-treated MWCNT (MCNT-7, Mitsui )  
was provided from Dr. Taquahashi and Dr. Kanno.

Vehicle: 0.1%Tween80/saline

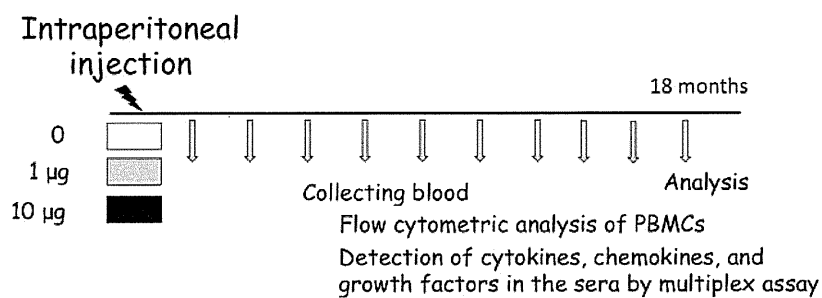


図1: 正常C57BL/6マウスへのMWCNT投与実験プロトコール

図2

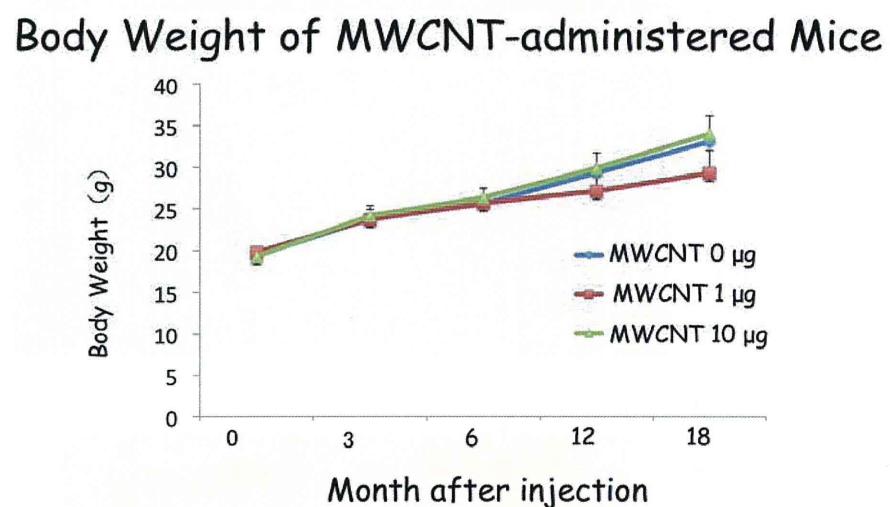
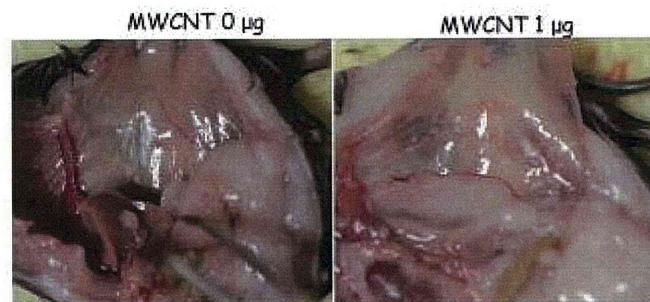


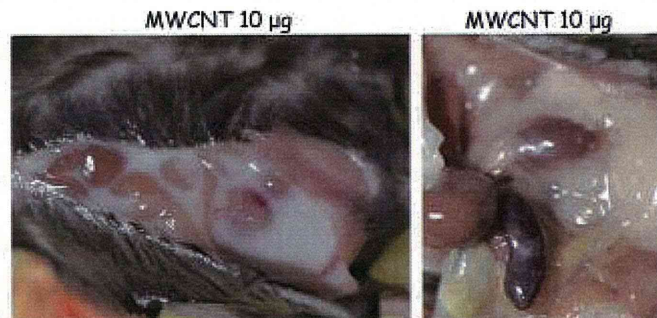
図2:正常C57BL/6マウスへのMWCNT投与による体重変化。各群の体重を経時的に示す。結果は平均±SDで示す。

図3

A



B



C



図3:MWCNT投与による腹腔内の肉眼的变化。(A)腹膜 (B) 腹水および脾、腎表面の白濁肥厚 (C) 肝臓の分葉状変化 写真は各群の代表。

図4

### Effect of MWCNT Administration on Spleen and Mesenteric Lymph Node

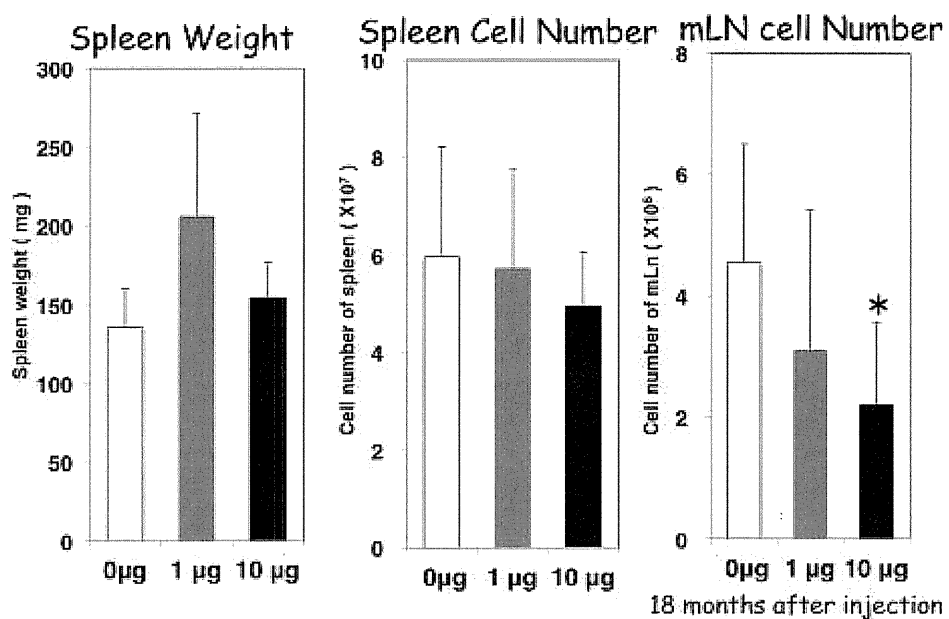


図4:MWCNT投与による脾重量、脾細胞数および腸間膜リンパ節細胞数の変化。  
結果は平均(n=5)±SDで示す。\* $p<0.05$

図5

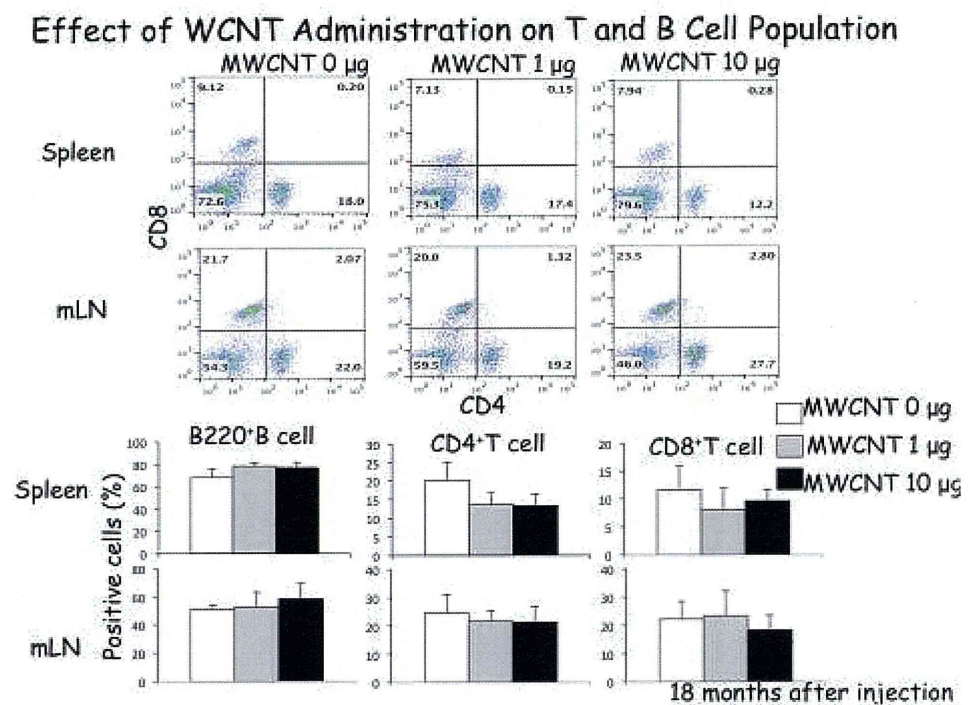


図5: MWCNT投与による脾臓および腸間膜リンパ節におけるT、B細胞分画の変化。  
フローサイトメータ解析によるパネルは各群の代表的結果を示す。  
下段のグラフの結果は平均( $n=5$ ) $\pm$ SDで示す。

図6

### Effect of MWCNT Administration on Regulatory T Cell (Treg)

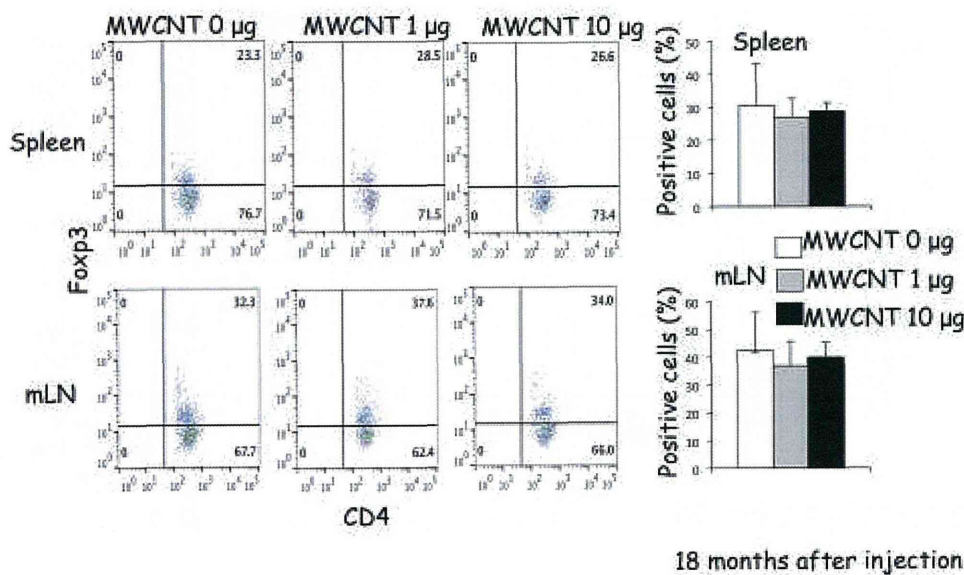


図6:MWCNT投与による脾臓および腸間膜リンパ節における制御性T細胞の割合の変化。  
フローサイトメータ解析によるパネルは各群の代表的結果を示す。  
グラフは平均(n=5)±SDで示す。

図7

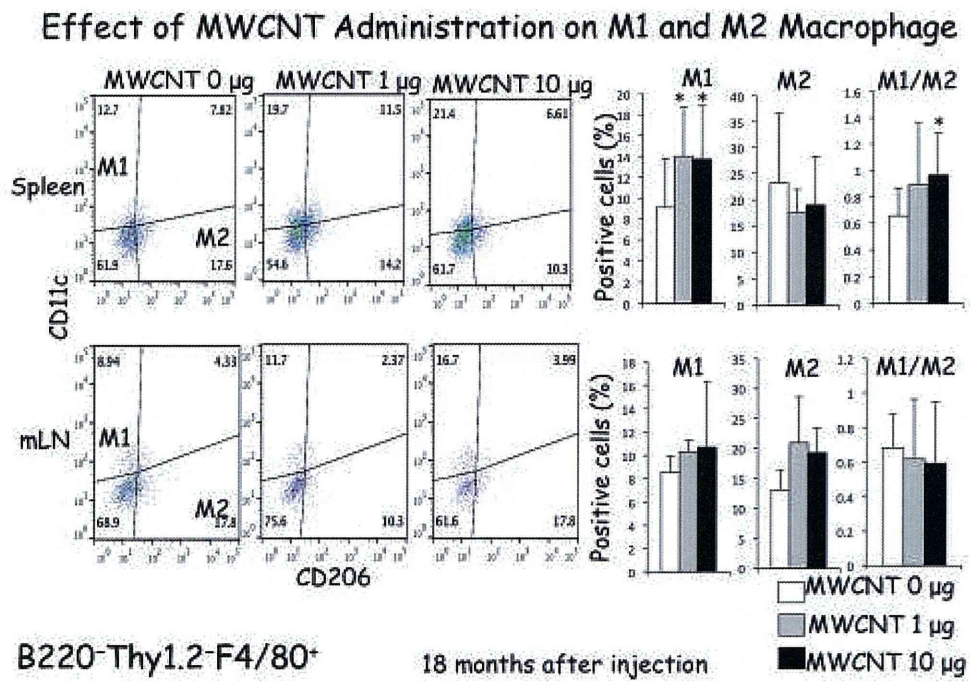


図7:MWCNT投与による脾臓および腸間膜リンパ節におけるマクロファージ分画への影響  
フローサイトメータ解析によるパネルは各群の代表的結果を示す。  
グラフの結果は平均( $n=5$ )±SDで示す。\* $p<0.05$

図8

## Experiment 2

Mice : ♀MRL/lpr (fas gene mutation, an model for autoimmune diseases such as SLE, RA, SS) and ♀MRL+/+ (control)

Group (n=5): 0 µg/mouse, 1 µg/mouse, 10 µg/mouse  
MWCNT: Taquann-treated MWCNT (MCNT-7, Mitsui ) was provided from Dr. Taquahashi and Dr. Kanno.

Vehicle: 0.1% Tween80/saline

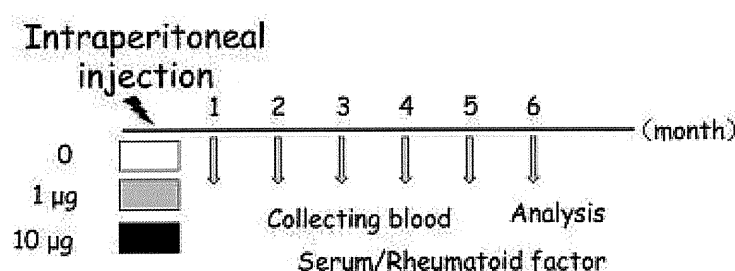


図8:MRL/lprマウスへのMWCNT投与実験プロトコール

図9

### Body Weight of MWCNT-injected MRL+/+ and MRL/-/- Mice (6m)

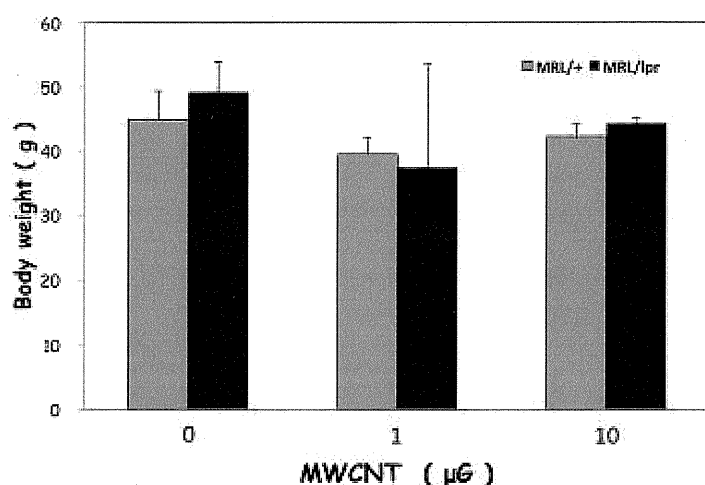


図9:MWCNT投与による体重変化。結果は平均(n=5)±SDで示す。

図10

### Spleen Weight and Spleen Cell Number in MWCNT-injected Mice (6m)

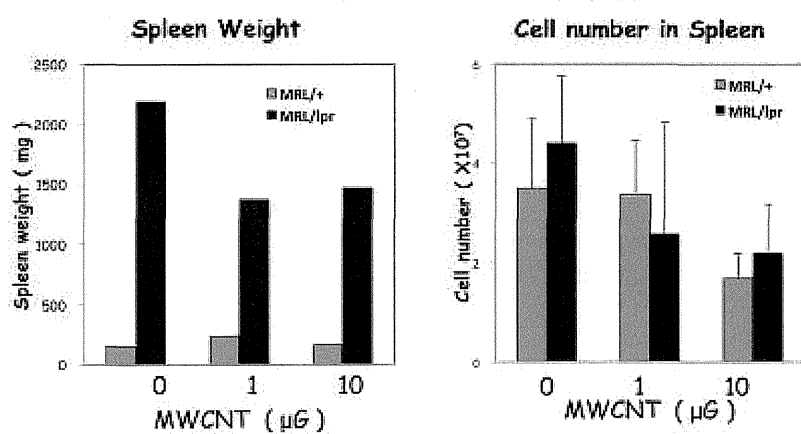


図10:MWCNT投与による脾重量と脾細胞数。結果は平均(n=5)±SDで示す。

図11

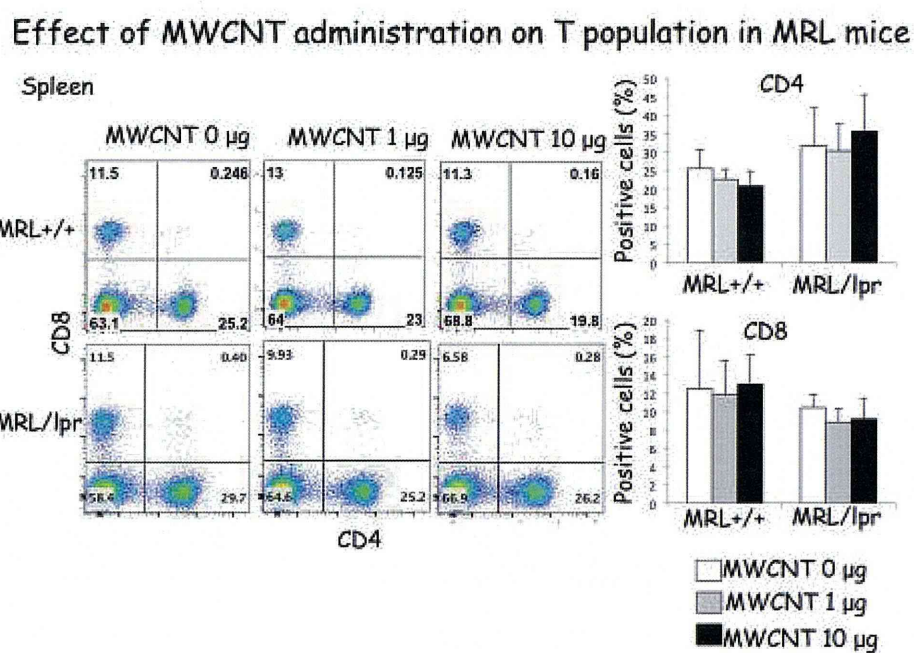


図11:MWCNT投与による脾臓におけるT細胞分画の変化。フローサイトメータ解析によるパネルは各群の代表的結果を示す。グラフの結果は平均( $n=5$ )±SDで示す。

図12

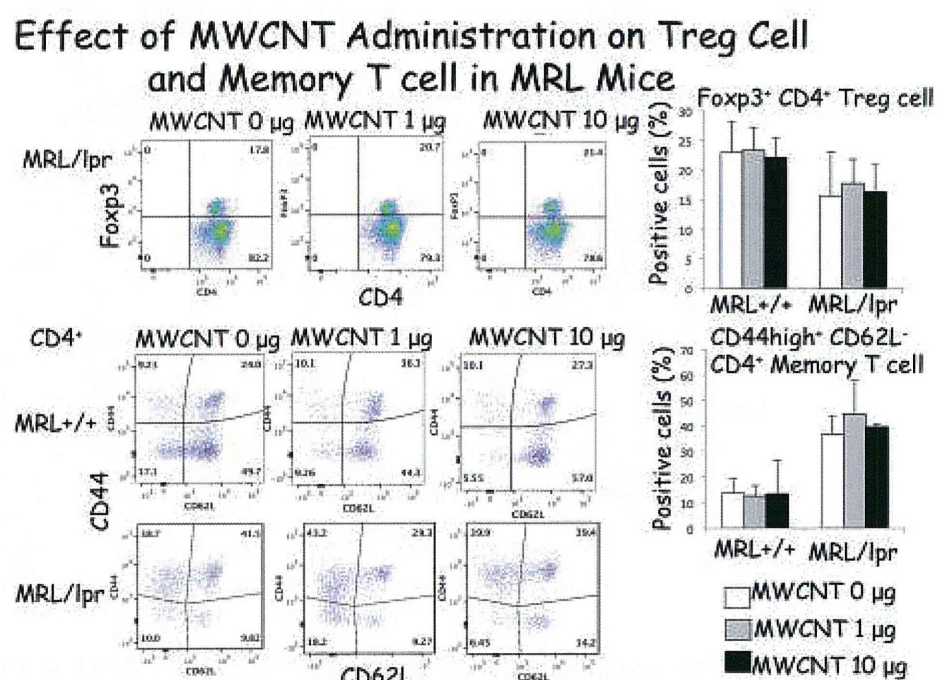


図12:MWCNT投与による脾臓における制御性T細胞とメモリー型T細胞への影響。  
フローサイトメータ解析によるパネルは各群の代表的結果を示す。結果は平均(n=5)±SDで示す。

図13

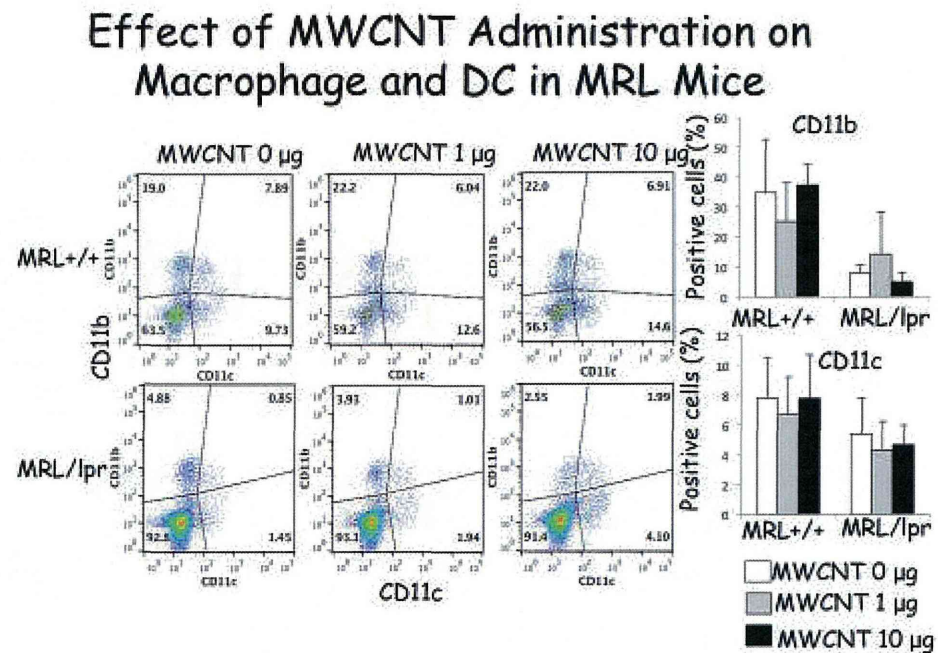


図13:MWCNT投与による脾臓におけるマクロファージ及び樹状細胞分画への影響。  
フローサイトメータ解析によるパネルは各群の代表的結果を示す。  
グラフは平均( $n=5$ )±SDで示す。

図14

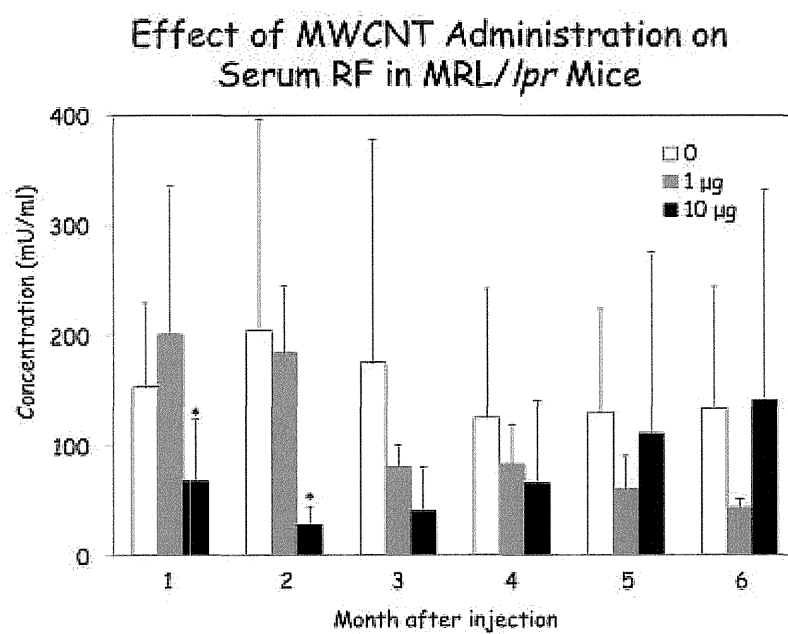


図14:MWCNT投与による血清リウマチ因子の経時的変化。  
グラフは平均(n=5)±SDで示す。\*p<0.05

## 分担研究課題名：炭素系ナノマテリアルの生体影響試験における物性測定に関する研究

分担研究者：宮澤 薫一 独立行政法人物質・材料研究機構 先端材料プロセスユニット フラーレン工学グループ グループリーダー

研究協力者：若原 孝次 独立行政法人物質・材料研究機構 先端材料プロセスユニット フラーレン工学グループ 主幹研究員  
平田 千佳 独立行政法人物質・材料研究機構 先端材料プロセスユニット フラーレン工学グループ 研究業務員  
今野 俊生 独立行政法人物質・材料研究機構 先端材料プロセスユニット フラーレン工学グループ 研究業務員

### 研究要旨

$C_{60}$ ナノウィスカーや、 $C_{60}$ よりもわずかに大きな $C_{70}$ 分子を固溶させることによって $C_{60}$ ナノウィスカーやの物性を様々なに変化させることができると期待される。そこで、本研究では、 $C_{60}$ ナノウィスカーやの成長が $C_{70}$ の添加によってどのように変化するかを調査した。また、 $C_{60}$ ナノウィスカーやの機械的な性質について、 $C_{70}$ の添加によってヤング率がどのように変化するのかを複合型透過電子顕微鏡を用いて調べた。その結果、固溶硬化の発現によって、 $C_{60}$ ナノウィスカーやのヤング率が $C_{70}$ の添加によって著しく増大することが見出された。

### A. 研究目的

フラーレンナノウィスカーやは、 $C_{60}$ 、 $C_{70}$ 、 $C_{60}[C(COOC_2H_5)_2]$ 、 $Sc_3N@C_{80}$ などの様々なフラーレン分子から構成される細いひげ結晶であり、その直径は1000nm未満と定義されている[1]。 $C_{60}$ は直径0.71nmの球形分子であり、 $C_{70}$ は長径0.85nm、短径0.72nmのラグビーボール形の分子である。 $C_{60}$ は紫外光も可視光も吸収するが、 $C_{70}$ は $C_{60}$ に比べてより長波長の光を吸収する。それゆえ、 $C_{60}$ と $C_{70}$ の両成分を含むフラーレンナノウィスカーや(FNW)は広い波長の光を吸収することが可能となり、 $C_{60}$ ナノウィスカーや

( $C_{60}NW$ )に比べて太陽電池や光センサーなどの光学デバイスにおいて、より広い波長での応用範囲が可能となる。また、 $C_{70}$ 分子は $C_{60}$ 分子に比べて少し大きいため、 $C_{60}$ ナノウィスカーや( $C_{60}NW$ )母相中に $C_{70}$ を固溶させることにより、結晶格子を歪ませる効果や転位の移動を妨げる効果によって、変形しにくくなり、 $C_{60}NW$ の機械的な強度が増大することが期待される。そこで、本研究では、 $C_{60}-C_{70}2$ 成分ナノウィスカーや( $C_{60}-C_{70}NW$ )の合成を行い、その機械的な性質を調べることを目的とした。

### B. 研究方法

## 1. C<sub>60</sub>-C<sub>70</sub>NW の合成

C<sub>60</sub>飽和トルエン溶液とC<sub>70</sub>飽和トルエン溶液を作製し、それらを混合することによって、C<sub>60</sub>とC<sub>70</sub>の2成分を含有するトルエン溶液を作製した。この混合溶液を用いて、貧溶媒をイソプロピルアルコール(IPA)とする液一液界面析出法(LLIP法)によって、仕込み組成で、C<sub>60</sub>-5mass%C<sub>70</sub>NW、C<sub>60</sub>-10mass%C<sub>70</sub>NW、C<sub>60</sub>-15mass%C<sub>70</sub>NW、C<sub>60</sub>-23mass%C<sub>70</sub>NWを合成した。

## 2. C<sub>60</sub>-C<sub>70</sub>NW の機械的性質の評価

筑波大学木塚研究室の複合機能型透過電子顕微鏡(複合TEM)によって、C<sub>60</sub>-C<sub>70</sub>NWのヤング率を測定した。この複合TEMは、原子間力顕微鏡(AFM)の探針を用いて試料に荷重を印加し、その荷重一変位曲線から試料のヤング率を計測できるように設計されている。

### C. 研究結果

図1に示すように、直線形状で成長軸方向に沿って一様な直径を持つC<sub>60</sub>-C<sub>70</sub>NWが合成された。表1にC<sub>60</sub>-C<sub>70</sub>NWの長さと直径の測定結果を示す。C<sub>70</sub>含量の増加とともに直径が増加するのに対して、長さはC<sub>60</sub>-10mass%C<sub>70</sub>NWで最小となっている。

図2に、複合TEMにより測定されたC<sub>60</sub>-C<sub>70</sub>NWのヤング率の組成依存性を示す。図の各記号は、○C<sub>60</sub>NW、●C<sub>60</sub>NW、▲C<sub>60</sub>-5mass%C<sub>70</sub>NW、■C<sub>60</sub>-10 mass%C<sub>70</sub>NW、▼C<sub>60</sub>-15mass%C<sub>70</sub>NW、◆C<sub>60</sub>-23 mass%C<sub>70</sub>NWを示す。

C<sub>70</sub>を添加することにより、600nm～1200

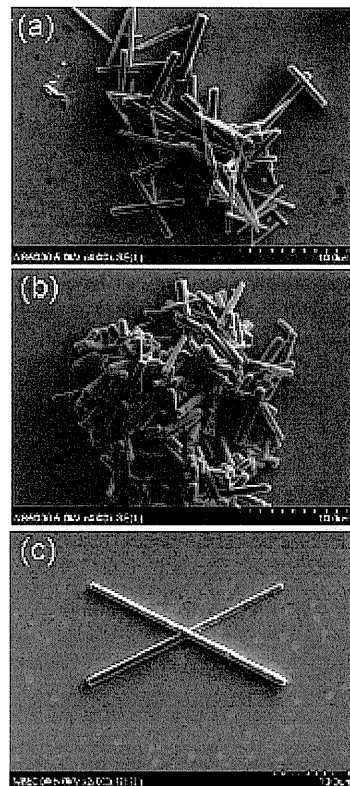


図1 (a)C<sub>60</sub>-5mass%C<sub>70</sub>NW、(b)C<sub>60</sub>-10mass%C<sub>70</sub>NW、(c)C<sub>60</sub>-15mass%C<sub>70</sub>NW の SEM 像

表1 C<sub>60</sub>-C<sub>70</sub>NW の長さと直径の平均値

仕込み組成	長さ(μm)	直径(nm)
C <sub>60</sub> -5mass%C <sub>70</sub> NW	5.8±1.8	478±134
C <sub>60</sub> -10mass%C <sub>70</sub> NW	3.5±1.7	629±145
C <sub>60</sub> -15mass%C <sub>70</sub> NW	11.9±4.7	1040±375

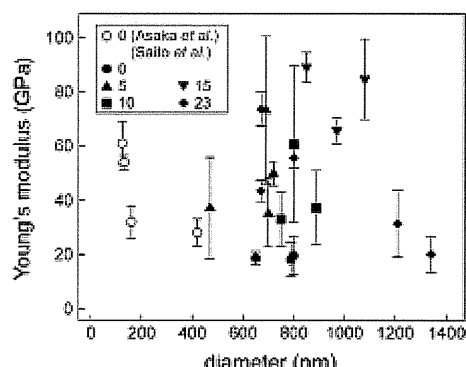


図2 C<sub>60</sub>-C<sub>70</sub>NW のヤング率の直径と組成依存性 (木塚徳志教授と松浦大輔氏のご厚意により文献[2]より転載)

nm 未満の範囲の直径において、C<sub>60</sub>-C<sub>70</sub>NW のヤング率が著しく増加することがわかる。

#### D. 考察

表 1 で C<sub>60</sub>-10mass%C<sub>70</sub>NW のときに長さが最小となることが分かった。これは C<sub>70</sub> の添加量が小さい場合は、C<sub>70</sub> は C<sub>60</sub>NW の成長を阻害するように働くこと、すなわち、C<sub>70</sub> が C<sub>60</sub>NW 上での C<sub>60</sub> の拡散を阻害することを示している。しかし、C<sub>70</sub> の添加量をさらに増加させると、より長く成長することがわかる。この現象は、添加量が少ないときは、C<sub>60</sub> の拡散を阻害する不純物として C<sub>70</sub> が作用するが、添加量がさらに増加すると、C<sub>70</sub> はフラーレン分子の脱溶媒和反応を促進して、フラーレン分子のウィスカー中の取り込みが容易になる結果、より長く成長するためと考察される。

図 2 で、直径 600nm ~ 1100nm の C<sub>60</sub>-C<sub>70</sub>NW において、C<sub>70</sub> 無添加のものに比べて、C<sub>70</sub> を添加したもののヤング率は、2 ~ 5 倍程度高くなっている。これは、C<sub>70</sub> 分子による固溶硬化によるものと理解される。

C<sub>70</sub> 無添加の C<sub>60</sub>NW (○) のヤング率は直径の減少とともに増加しているが、これは、C<sub>60</sub>NW の内部が軟らかく、外表面が硬いコアーシェル構造になっているためである [3]。また、C<sub>60</sub>-23 mass%C<sub>70</sub> の組成のものだけに注目すると、直径の増加とともにヤング率は急速に減少していることがわかる。これは、C<sub>60</sub>-23 mass%C<sub>70</sub>NW においても、コアーシェル構造となっていることを示唆する。

また、図 2 で約 1350nm の直径の C<sub>60</sub>-23 mass%C<sub>70</sub>NW のヤング率は、C<sub>70</sub> 無添加の C<sub>60</sub>NW (●) と同程度のヤング率となっており、C<sub>70</sub> の固溶硬化現象が反映されていない

よう見える。これは、C<sub>60</sub>-23 mass%C<sub>70</sub>NW が太く多孔質なコアが支配的であるためと考察される。つまり、C<sub>70</sub> による固溶硬化の寄与に比べて、多孔質構造による軟化の寄与が強く働いているためであると考察される。

#### E. 結論

- (1) C<sub>60</sub>-C<sub>70</sub>NW の直径は、C<sub>70</sub> の添加とともに増加した。しかし、C<sub>60</sub>-C<sub>70</sub>NW の長さは、C<sub>70</sub> の添加量が小さい場合は抑制されるが、添加量をさらに増加させると長さが増加することが見出された。
- (2) C<sub>60</sub>NW のヤング率は、C<sub>70</sub> を添加することによってもたらされる固溶硬化の発現によって、著しく増大することが判明した。

#### 参考文献

- [1] Kun'ichi Miyazawa, J. Nanosci. Nanotechnol. **9** (2009)41
- [2] 松浦大輔, 今野俊生, 若原孝次, 宮澤薫一, 木塚徳志, “C<sub>60</sub>/C<sub>70</sub> 合金ナノウィスカーナノ構造のヤング率の組成依存性”, 2014 年春期講演大会（第 154 回）日本金属学会講演大会概要集、P.22
- [3] Ryoei Kato and Kun'ichi Miyazawa, Diamond & Related Materials, **20** (2011) 299

#### F. 健康危険情報

該当なし。

#### G. 研究発表

1. 論文発表  
(1) K. Miyazawa, C. Hirata, R. Kano, T. Wakahara, H. Takeya, T. Yamaguchi, Y.